Speicherkonzept und Verfahrensschema des Power-to-Gas Modules (Teil III)

Matthias Puchta, Jochen Bard

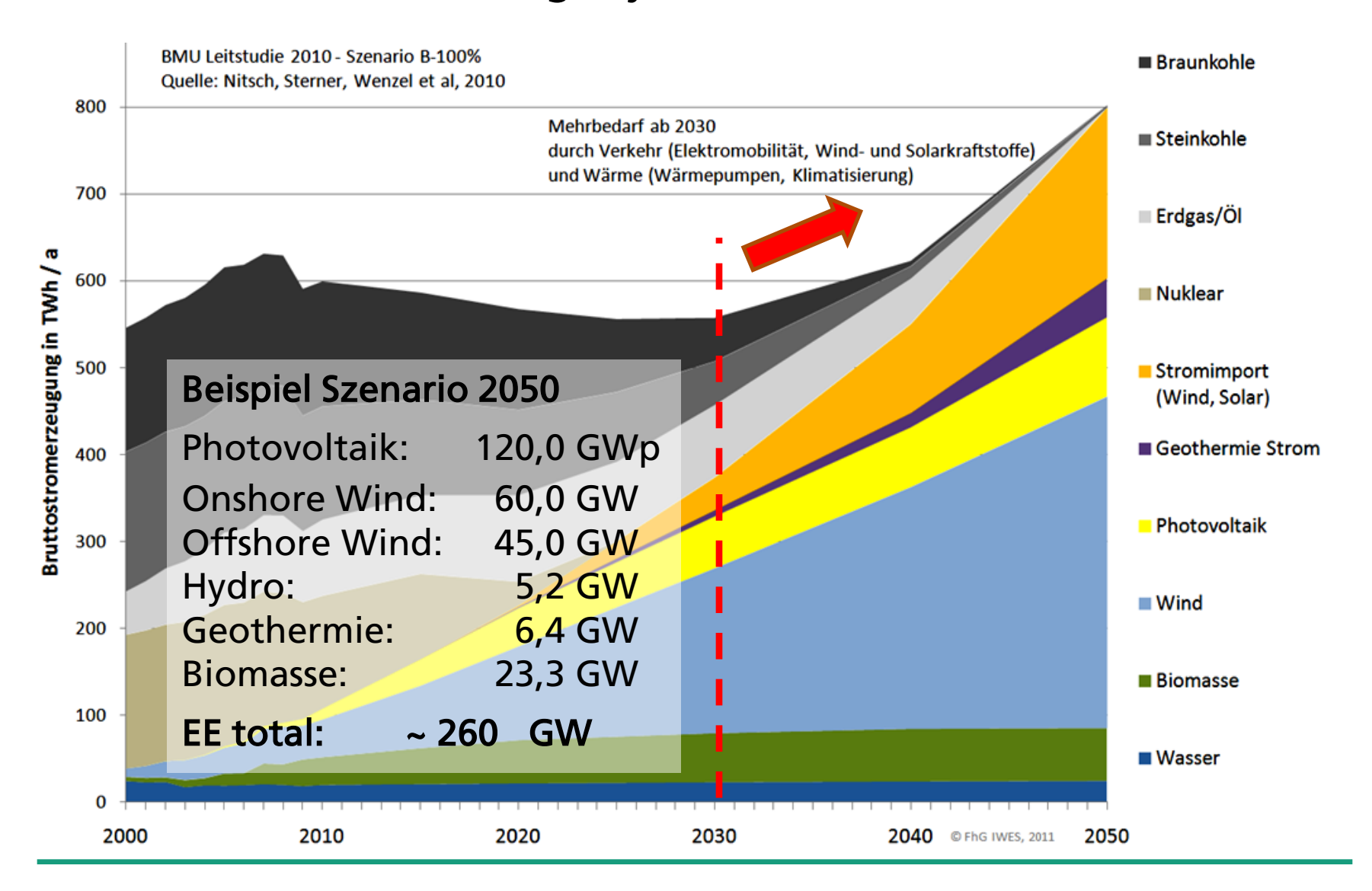
VDI Vortragsreihe Wind-to-Gas - Speicherlösung Elektrolyse, Wasserstoff, Methan -

Umweltfreundliche Speicherung elektrischer Energie aus Windkraft, Biogas und Solar-Energie, Gießen, 26.11.2012

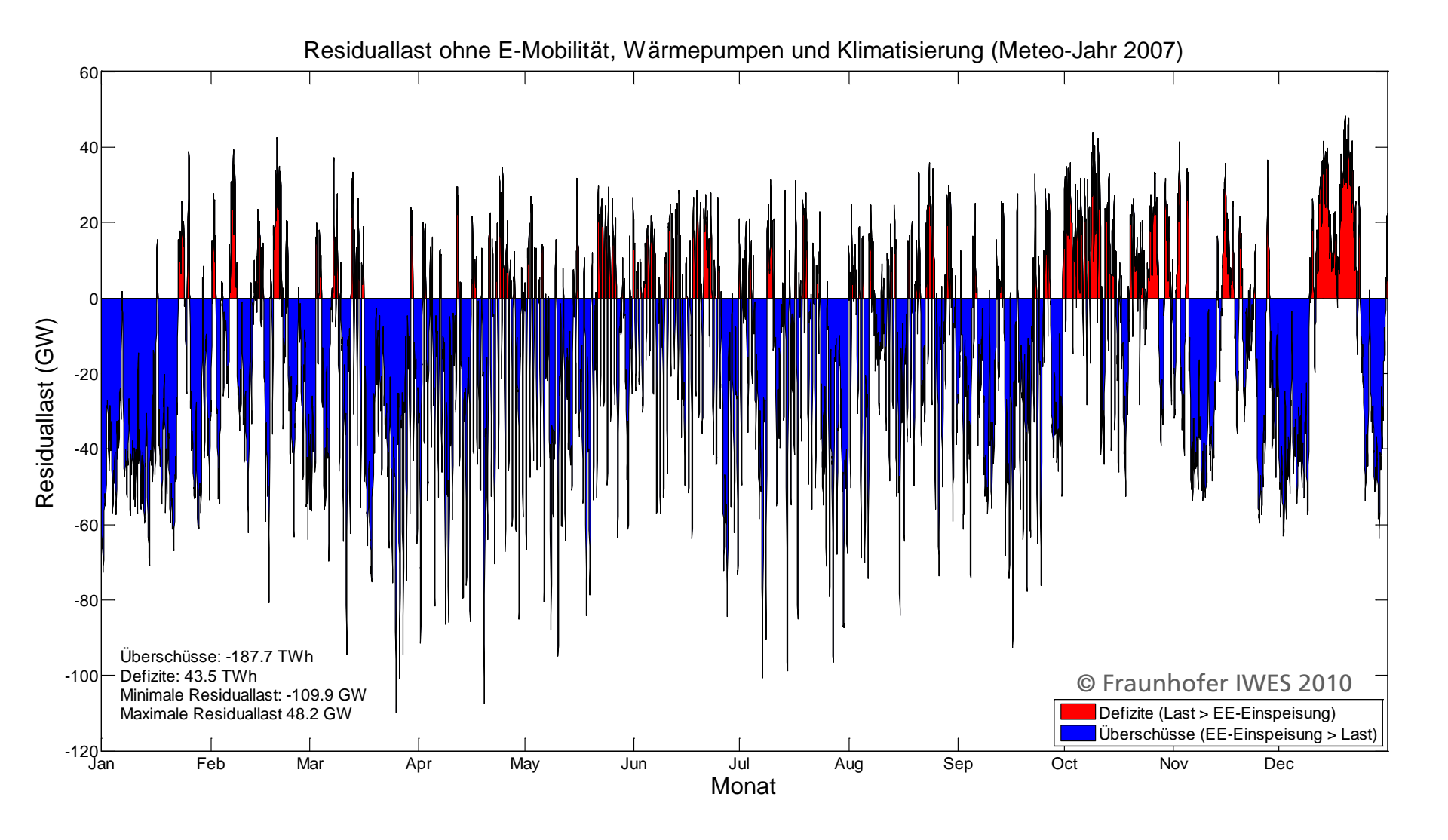




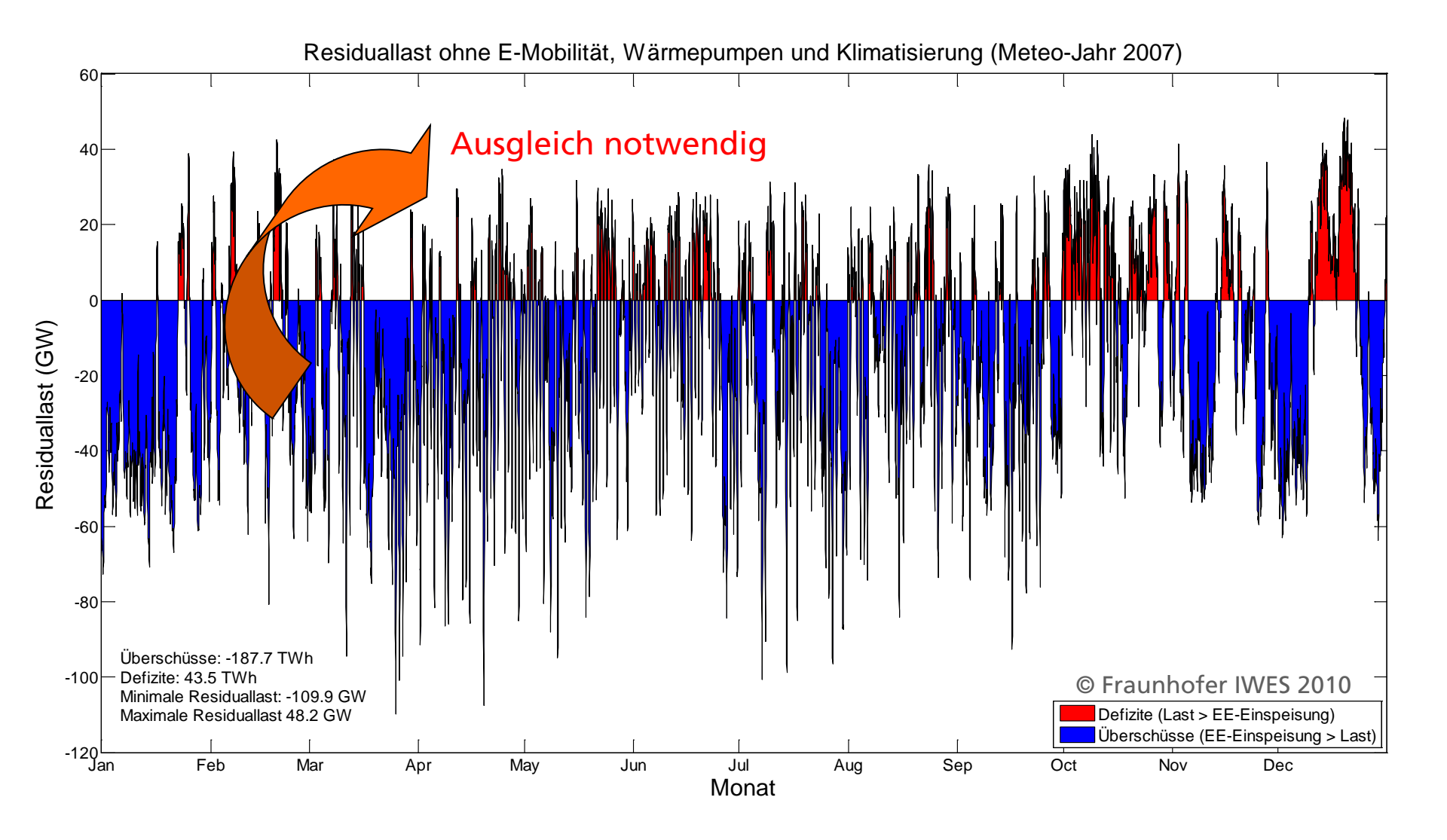
Transformation des Energiesystems bis 2050





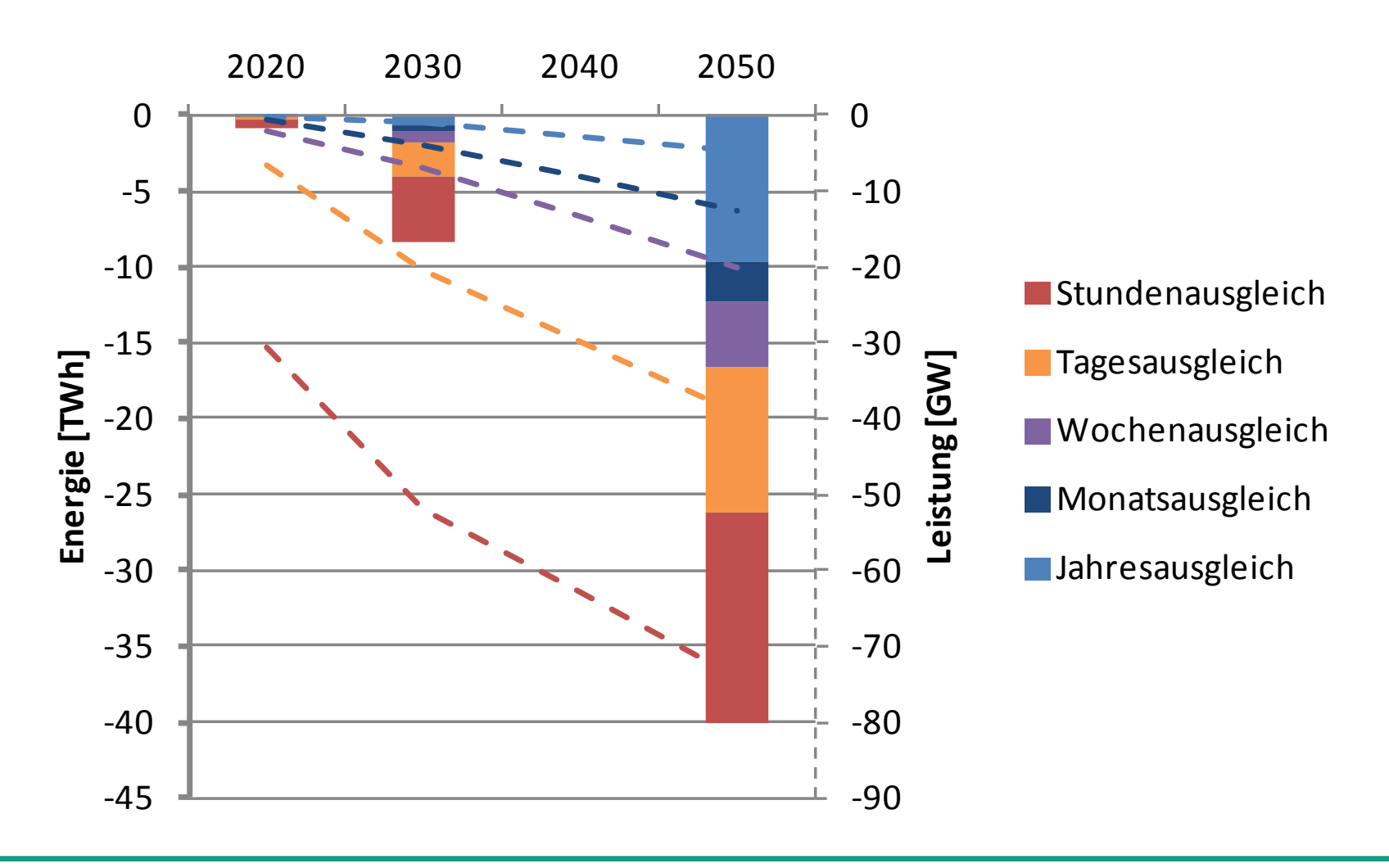




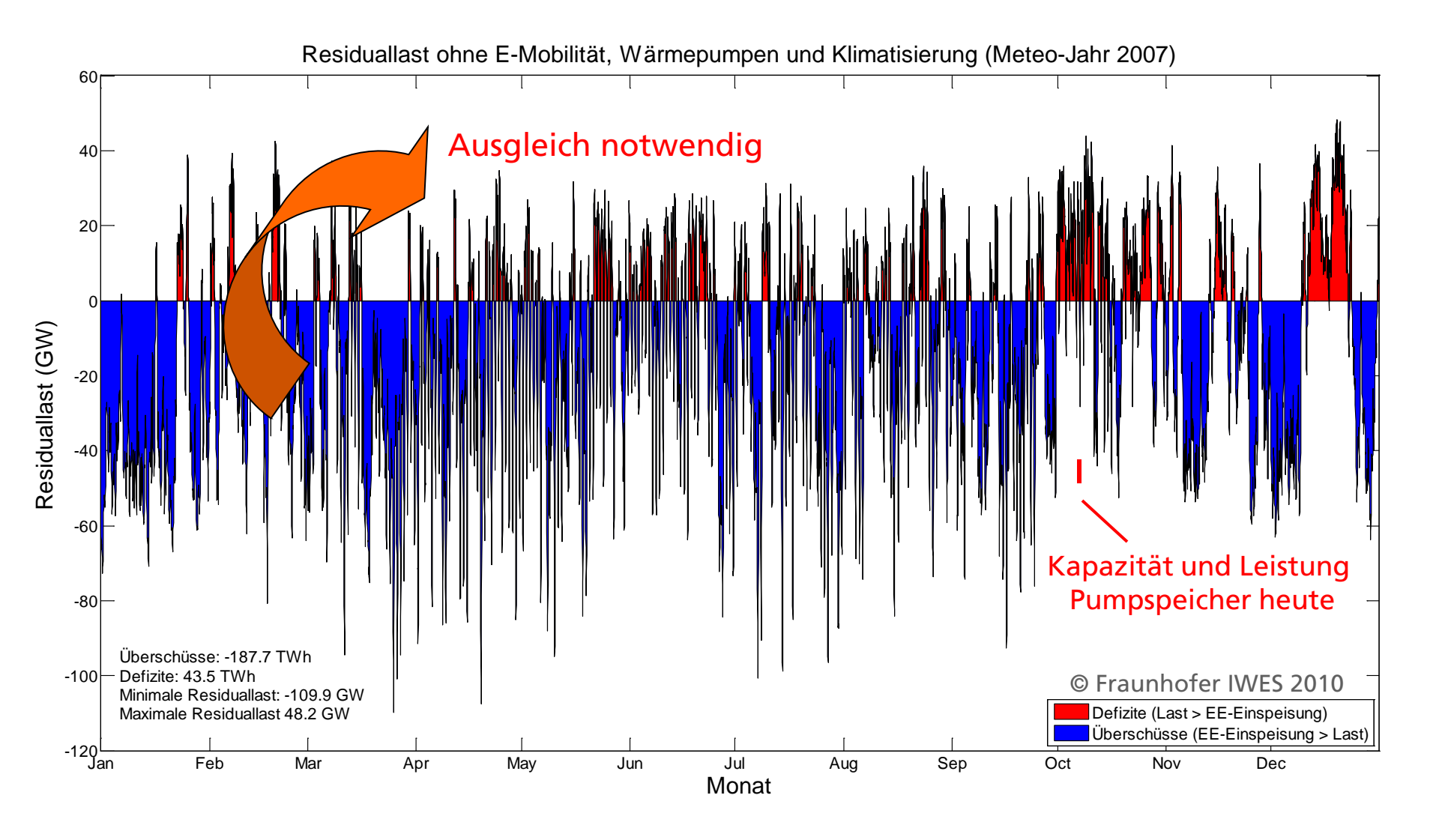




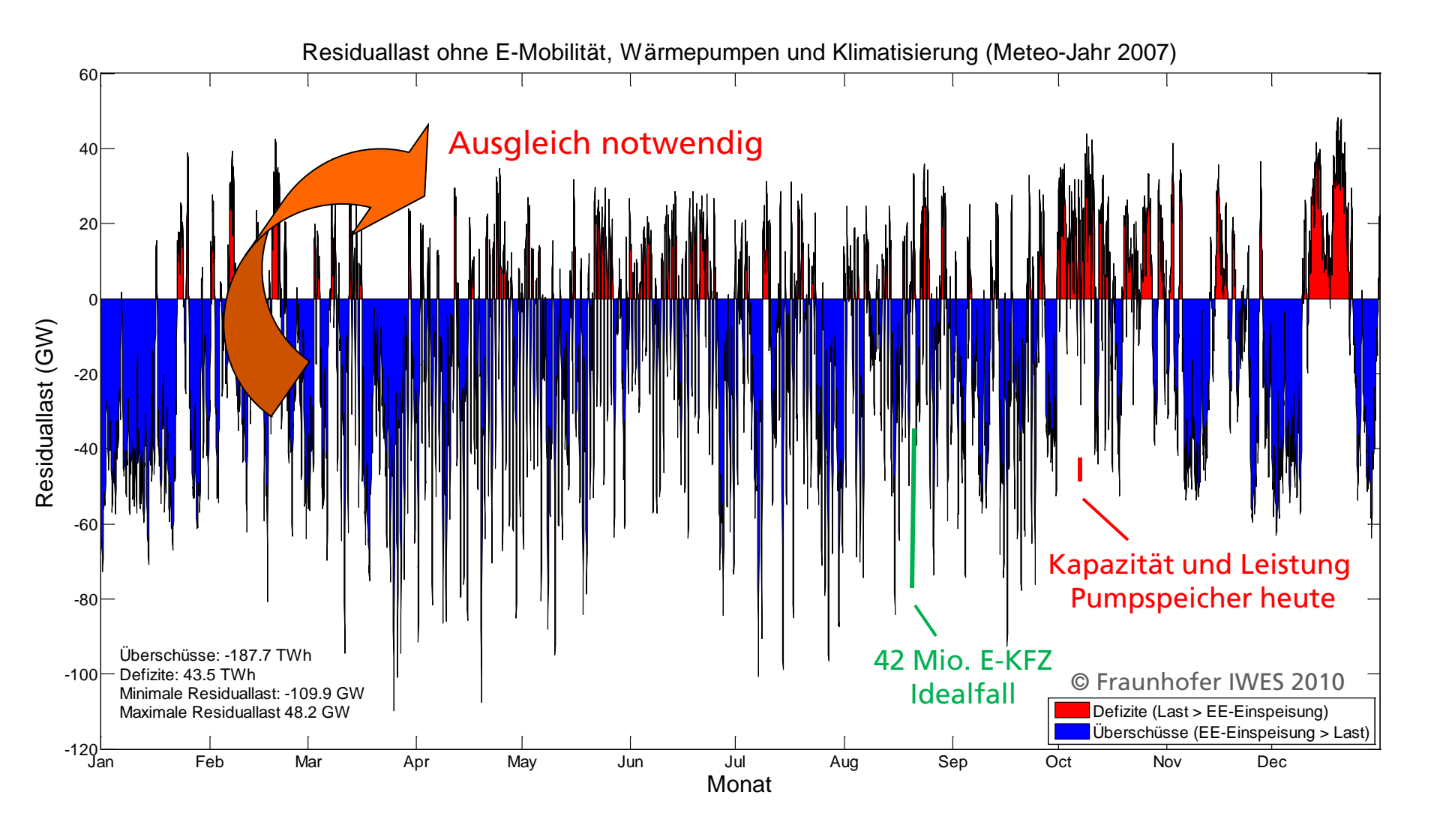
BMU Leitstudie 2011: Ab 2030 relevante Überschussmengen für Langzeitspeicher zu erwarten



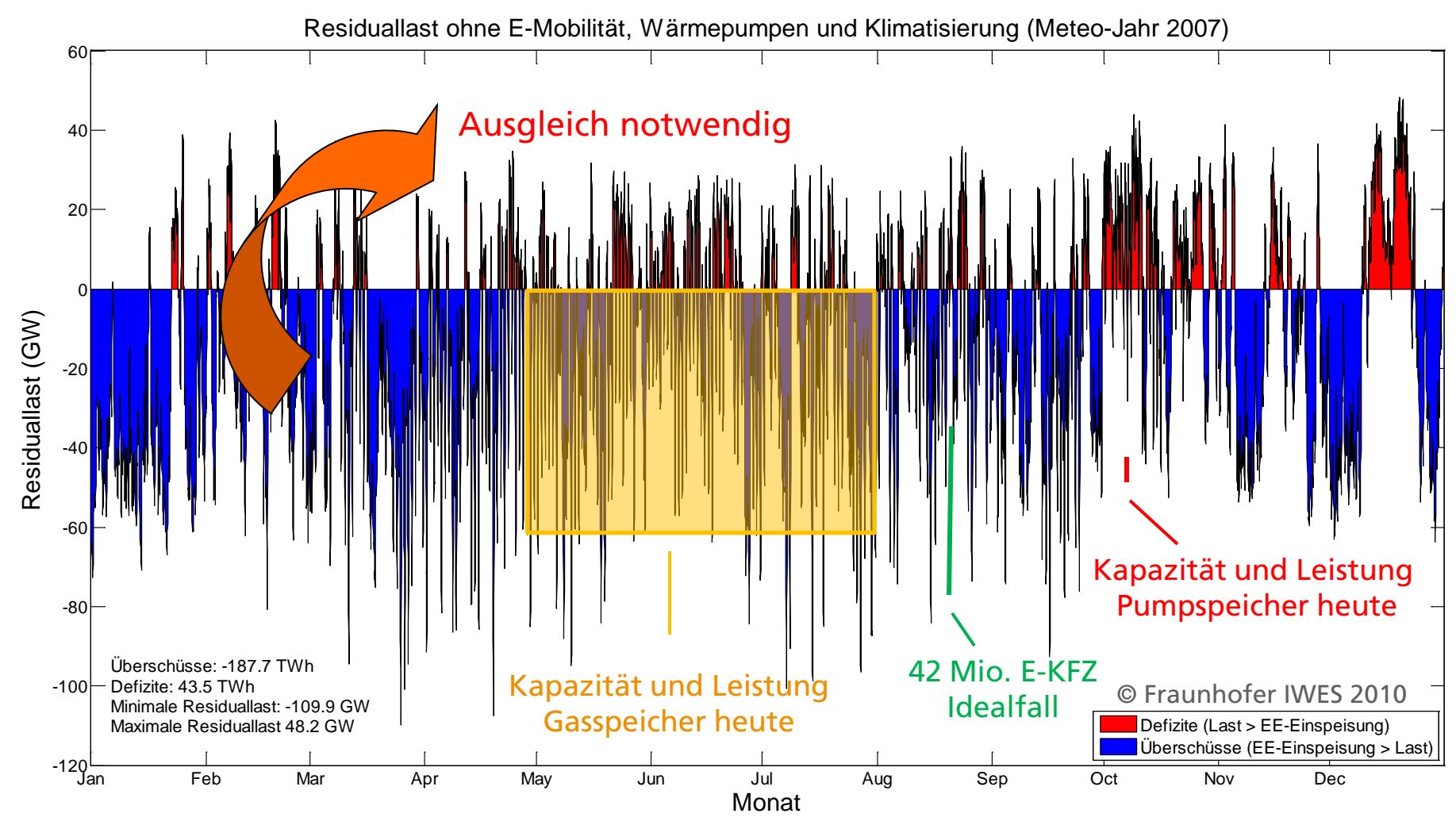












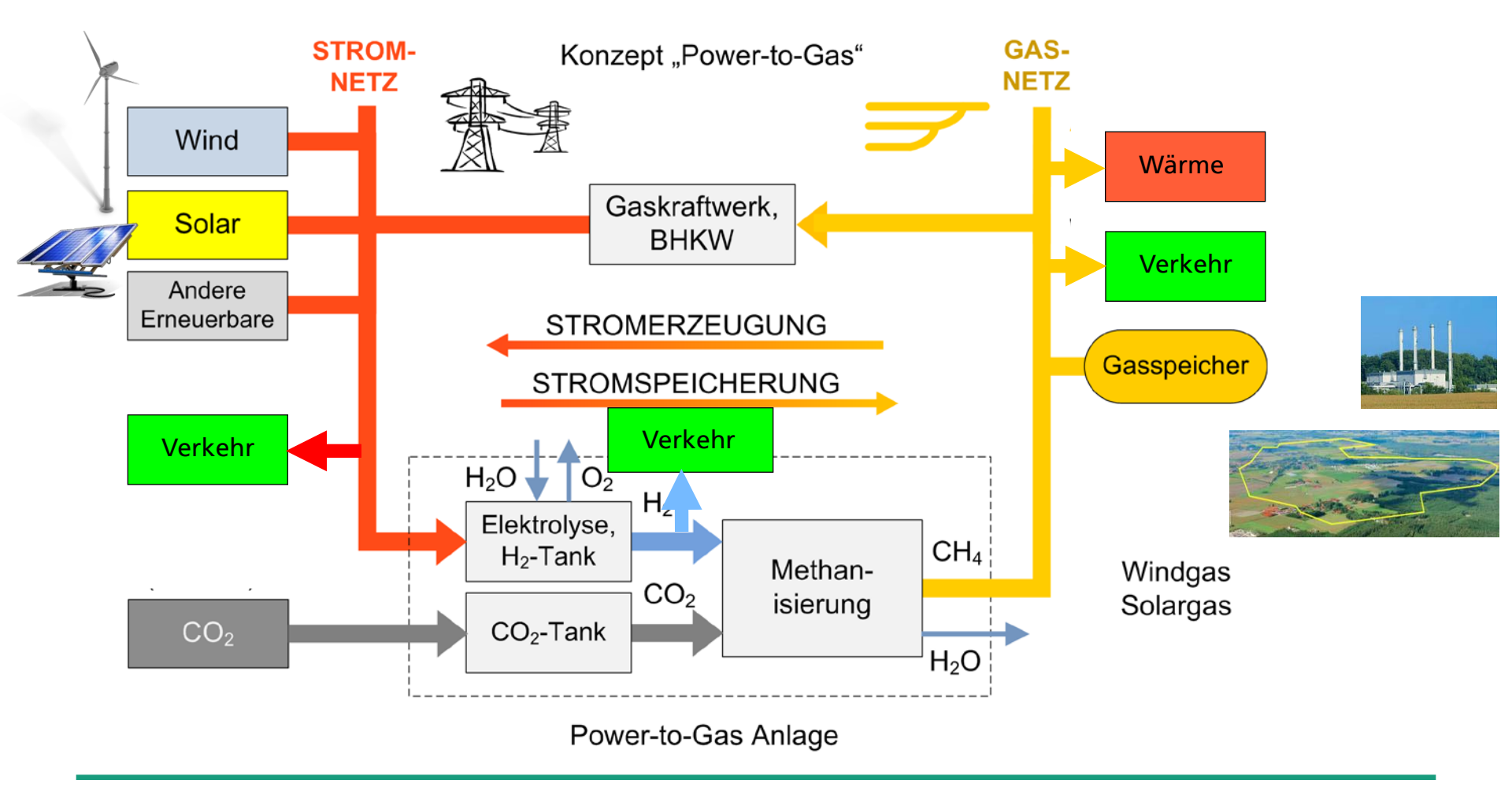
 \rightarrow Gasspeicher = 1500 bis 3000-fache Kapazität aller Pumpspeicher (bei $\eta_{GT,GuD}$ = 28-55%)



Erneuerbares Gas – Power-to-Gas

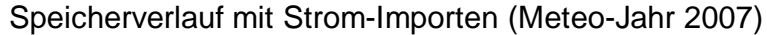
Energiespeicherung durch Kopplung von Strom- und Gasnetz

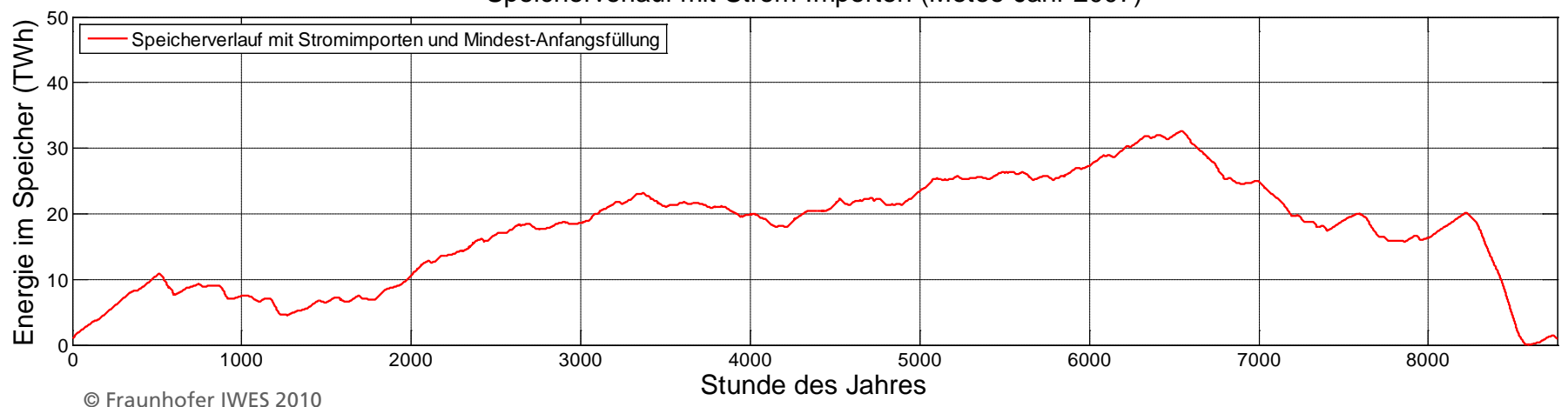
→ Technische Nachbildung der Photosynthese

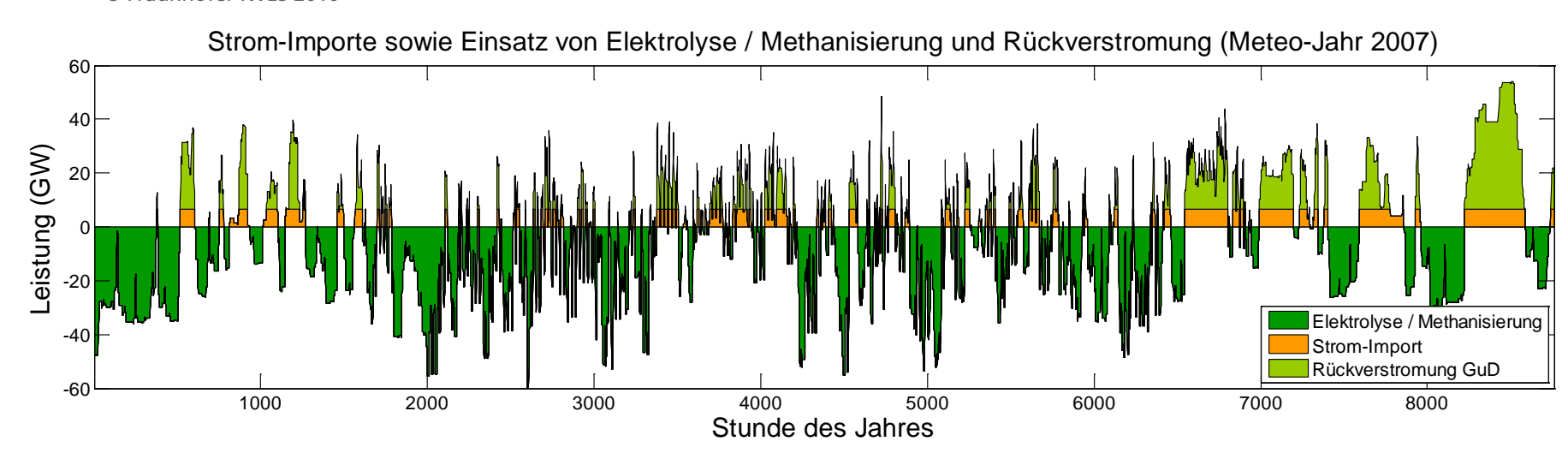




Gasspeichernutzung im 100 %-EE-Szenario des Umweltbundesamtes







Quelle: IWES-Berechnungen für UBA Energieziel 100% EE-Versorgung



Power-to-Gas – Vorzüge der Energienetze kombinieren



Stromnetz

Gasnetz

Übertragungskapazität

Einstellige GW Zweistellige GW

Speicherkapazität

 0.04 TWh_{el} 220 TWh_{th} + Netze

North Sea

From Date

Replace

Vor- und Nachteile

- + Hochwertige Energie Hochpreisige Energie
- Strom kaum speicherbar
- + Direkte Nutzung hocheffizient
- AC-Übertraggsverl. 3-10% / 1000km -
- + Universeller Energieträger Niedrigpreisige Energie
- + Große Speicher
- Umwandlungsverluste hoch
- Übertragungsverluste 0,5% / 1000 km
 H₂ Grenzen heute:
 2% KFZ; 1% Gas-KW und Speicher

Quelle: IWES, 2011





Methanisierung (Sabatier-Prozess)

Methanisierung:

$$3H_2 + CO \rightleftharpoons CH_4 + H_2O$$

$$\Delta H_R^0 = -206,4 \text{ kJ/mol}$$

$$4H_2 + CO_2 \rightleftharpoons CH_4 + 2H_2O$$

$$\Delta H_{R}^{0} = -164,9 \text{ kJ/mol}$$

Shift-Reaktion:

$$H_2O + CO \rightleftharpoons H_2 + CO_2$$

$$\Delta H_R^0 = -41,5 \text{ kJ/mol}$$

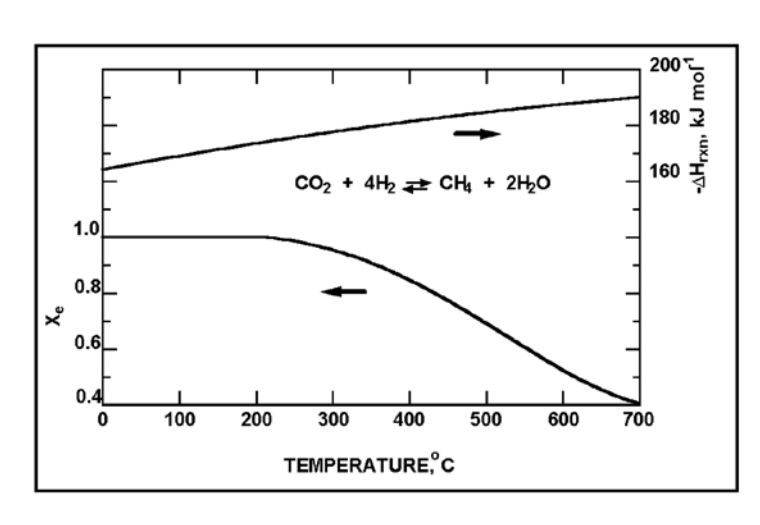


Figure 1. Thermodynamic equilibrium conversion and the enthalpy of reaction for the Sabatier reaction.

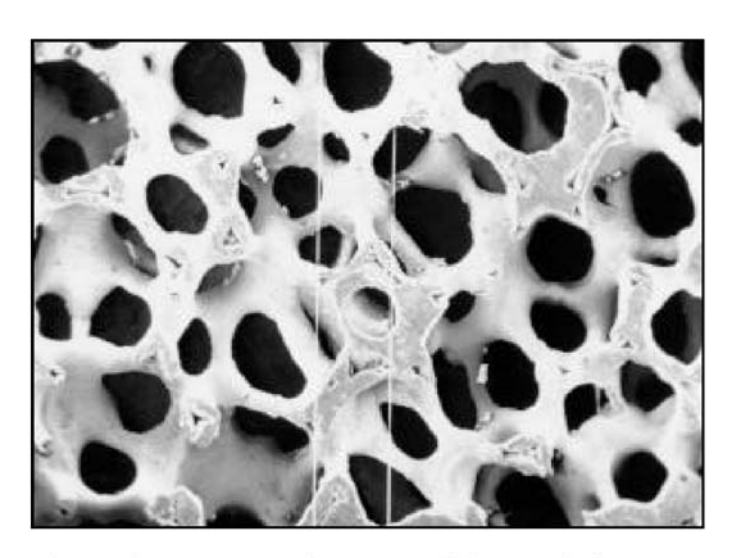


Fig. 2. Microsctructure of 30 PPI α -Al₂O₃ ceramic foam

Methanisierung (Sabatier-Prozess)

Methanisierung:

$$3H_2 + CO \rightleftharpoons CH_4 + H_2O$$

$$\Delta H_{R}^{0} = -206,4 \text{ kJ/mol}$$

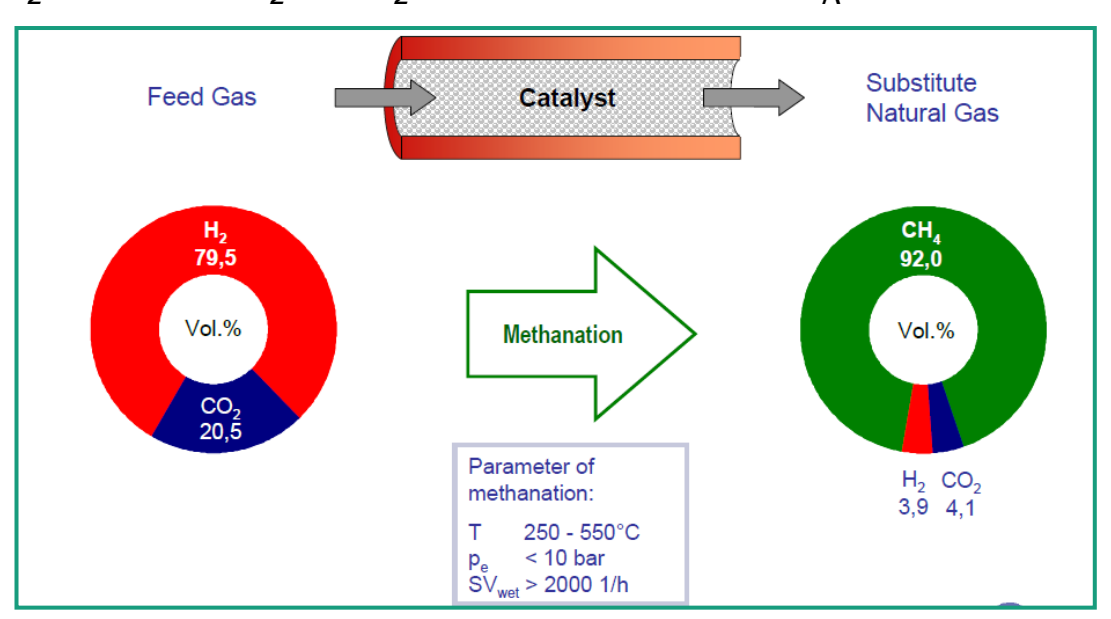
$$4H_2 + CO_2 \rightleftharpoons CH_4 + 2H_2O$$

$$\Delta H_{R}^{0} = -164,9 \text{ kJ/mol}$$

Shift-Reaktion:

$$H_2O + CO \rightleftharpoons H_2 + CO_2$$

$$\Delta H_{R}^{0} = -41,5 \text{ kJ/mol}$$



Katalysatoren:

- Nickel
- Ruthenium
- Rodium
- Platin
- Eisen
- Cobalt





Sabatier-Prozess (Laboraufbau 1963, entdeckt 1902)

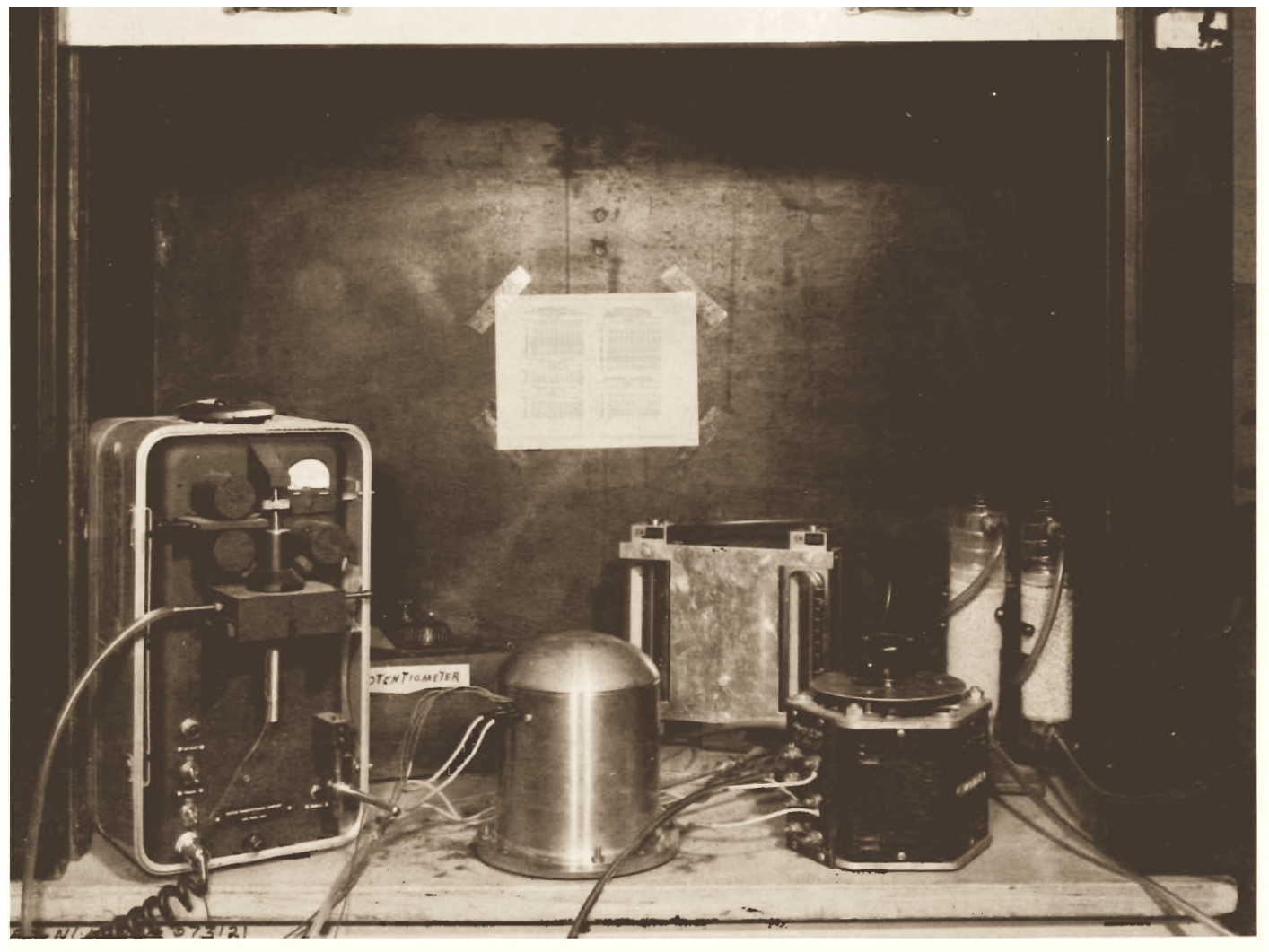


FIGURE 5. PHOTOGRAPH OF CO2 REDUCTION SYSTEM



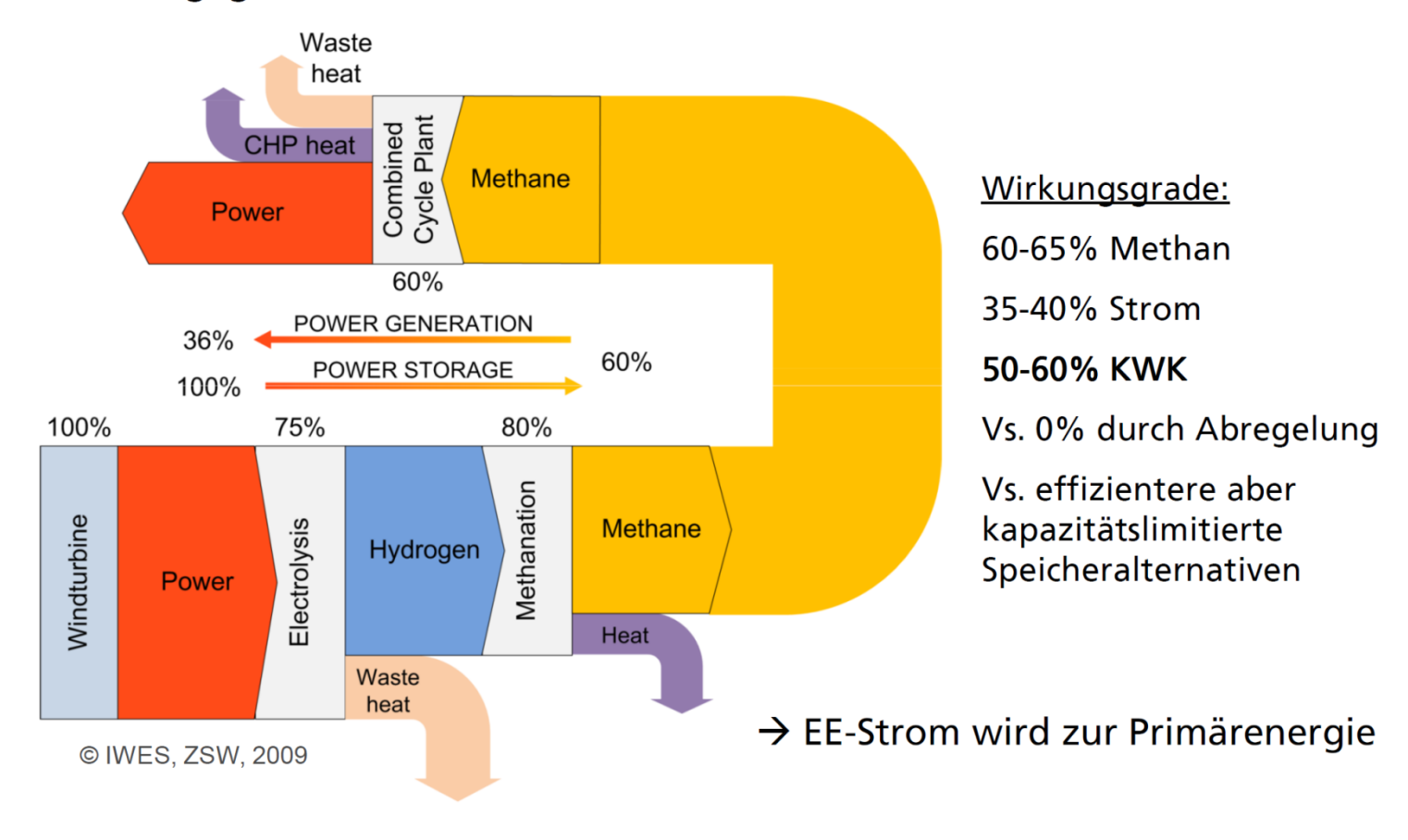
Sabatier-Prozess (Laboraufbau 1963, entdeckt 1902)







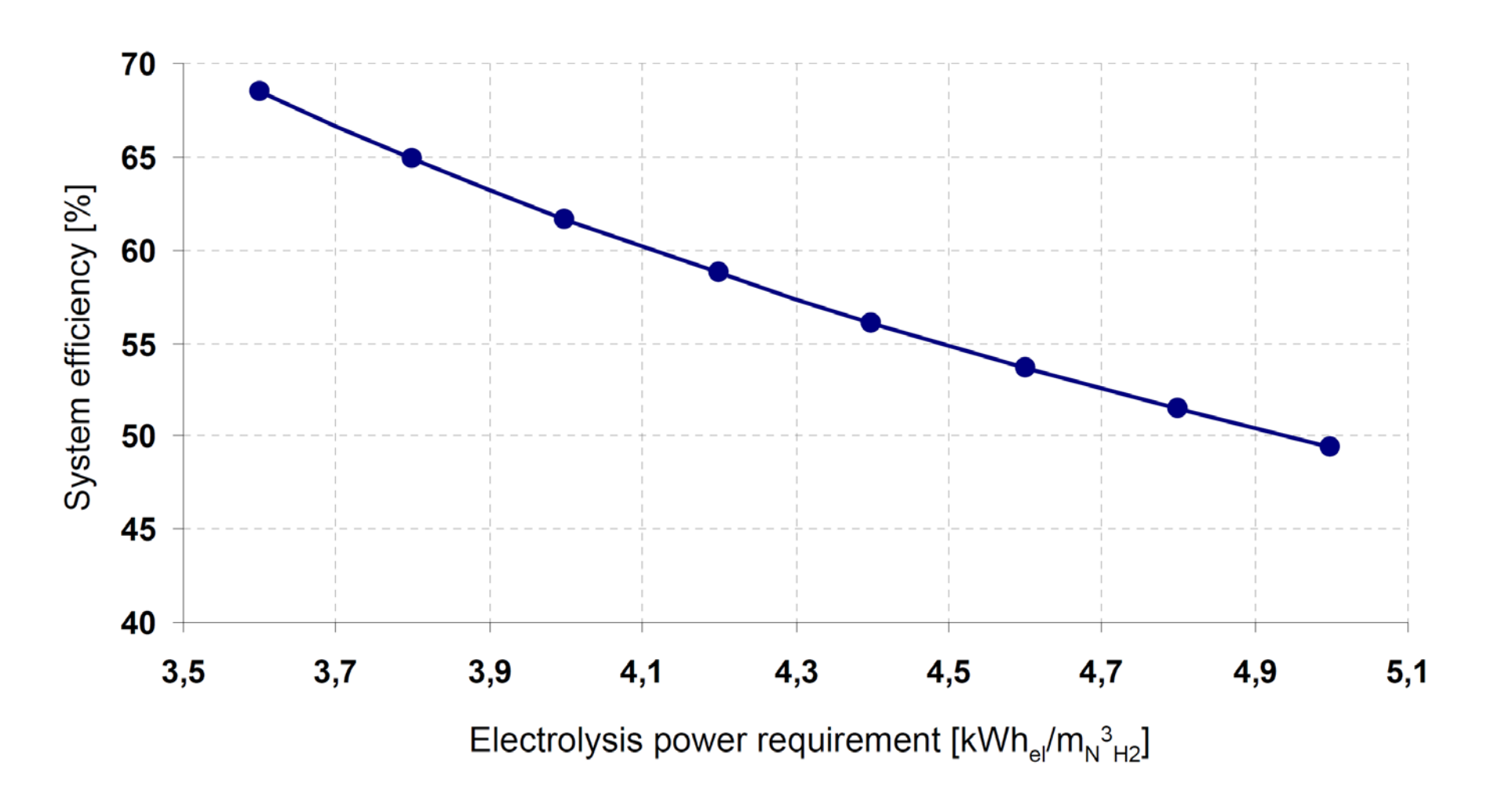
Erneuerbares Gas – Strom-zu-Gas Wirkungsgradkette







Einfluss Elektrolysewirkungsgrades auf den Power-to-Gas Systemwirkungsgrad (CO₂/H₂→Methan)





Biogene CO₂-Quellen ausreichend vorhanden

Quelle: Vergärungs- und Vergasungsprozesse

Biogas mit Einspeisung ins Erdgasnetz

Heute:

Biomethaneinspeisung von 42.000 Nm³/h aus 50 BGAA

- → 290 Mio. m³ hochkonzentriertes CO₂
- → Potenzial zur Methanisierung von 4,8 TWh_{el}

(ca. 120 Anlagen mit 10 MW_{el} bei 4000 Volllaststunden)

2030:

30- bis 40-Fache Potenzial der Biomethaneinspeisung politisch angestrebt

- Verwendung von Rohbiogas aus Biogasanlagen
 - → Annahme: 85% der heutigen 6000 Anlagen auf Basis NaWaRo-Substrat
 - → 10-20% der Anlagen besitzen ausreichende CO₂-Volumenströme für Methanisierung im MW_{el}-Maßstab
 - → Potenzial zur Methanisierung von 9,7-19,4 TWh_{el}

(ca. 240 - 490 Anlagen mit 10 MW_{el} bei 4000 Volllaststunden)

Weitere biogene CO₂-Potenziale aus Bio-SNG, Bioethanol, Brauereien und Klärgas



Weitere CO₂-Quellen ebenfalls vorhanden

- CO₂ aus stofflichen industriellen Prozessen
 - Herstellung von Metall, insbesondere bei der <u>Stahlerzeugung</u>
 - → jährlich etwa 30,8 Mio. t CO₂
 - → Potenzial zur Methanisierung von 273 TWh_{el}

(ca. 6800 Anlagen mit 10 MW_{el} bei 4000 Volllaststunden)

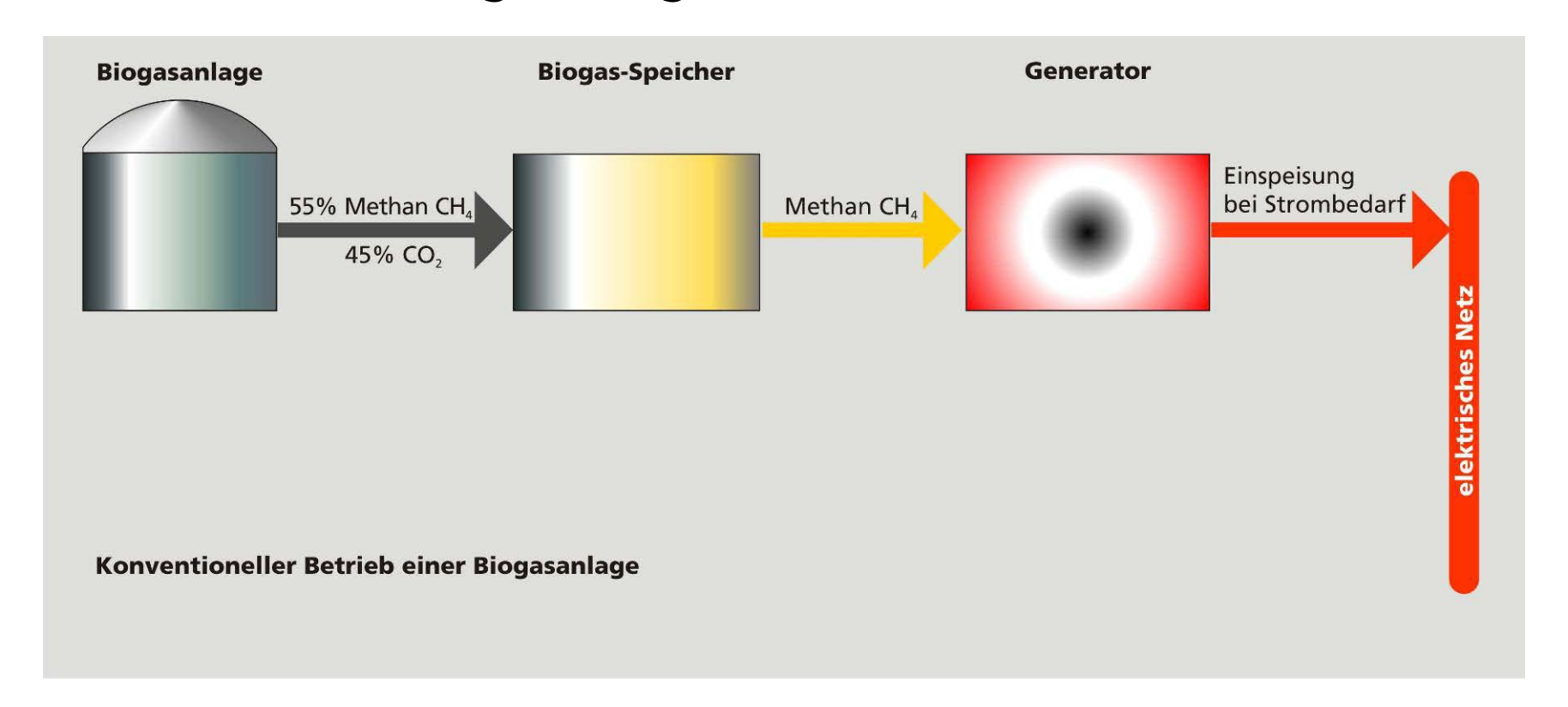
- Zementindustrie bei der Kalksteinentsäuerung
 - → jährlich etwa 14,3 Mio. t CO₂
 - → Potenzial zur Methanisierung von 127 TWh_{el}

(ca. 3200 Anlagen mit 10 MW_{el} bei 4000 Volllaststunden)

- chemischen Industrie
 - → jährlich etwa 14,4 Mio. t CO₂, jedoch nicht jeder Prozess sinnvoll
- CO₂ aus Verbrennungsprozessen von fossilen Brennstoffen
- CO₂ Aus der Atmosphäre
 - energieintensives Absorptionsverfahren notwendig
 - Verminderung des Wirkungsgrads der Gesamtanlage um 15%



Konventionelle Biogasanlagen





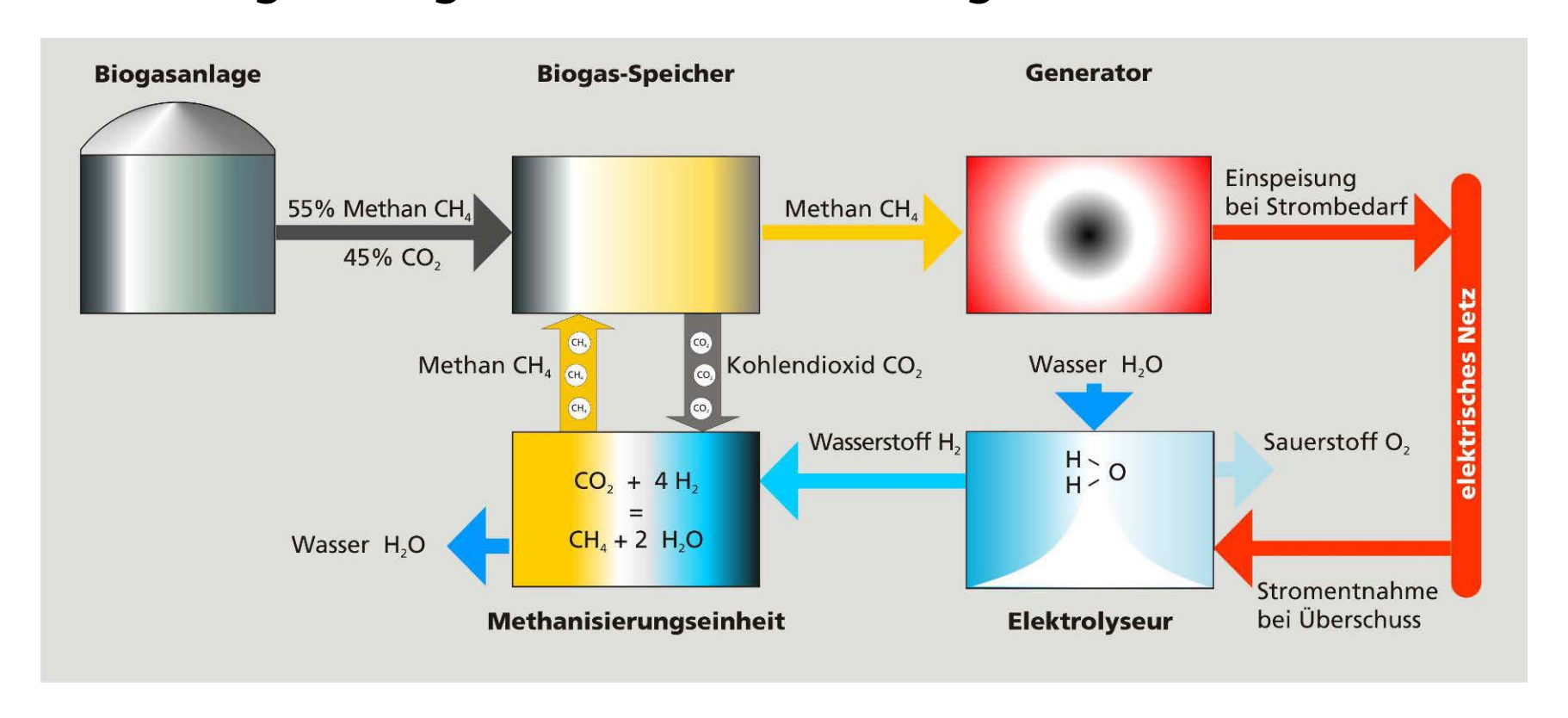








Neue Biogasanlagen mit Methanisierungsreaktor



- Steigert die Leistungsfähigkeit der Biogas-Speicherung
- Effizientes System zum Ausgleich von Leistungsschwankungen
- Biogasanlagen werden zu Energiespeichern ausgebaut



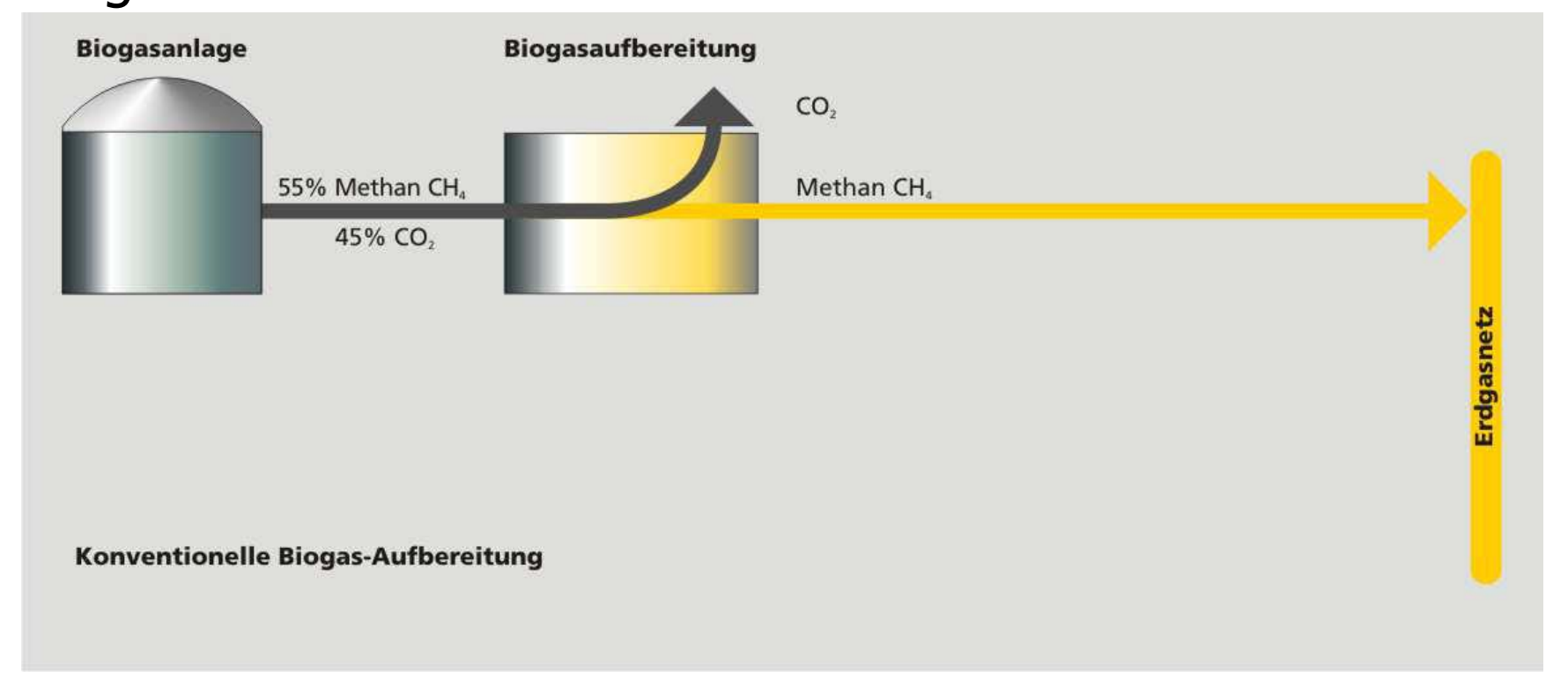








Konventionelle Aufbereitung von Biogas zur Einspeisung in Erdgasnetze





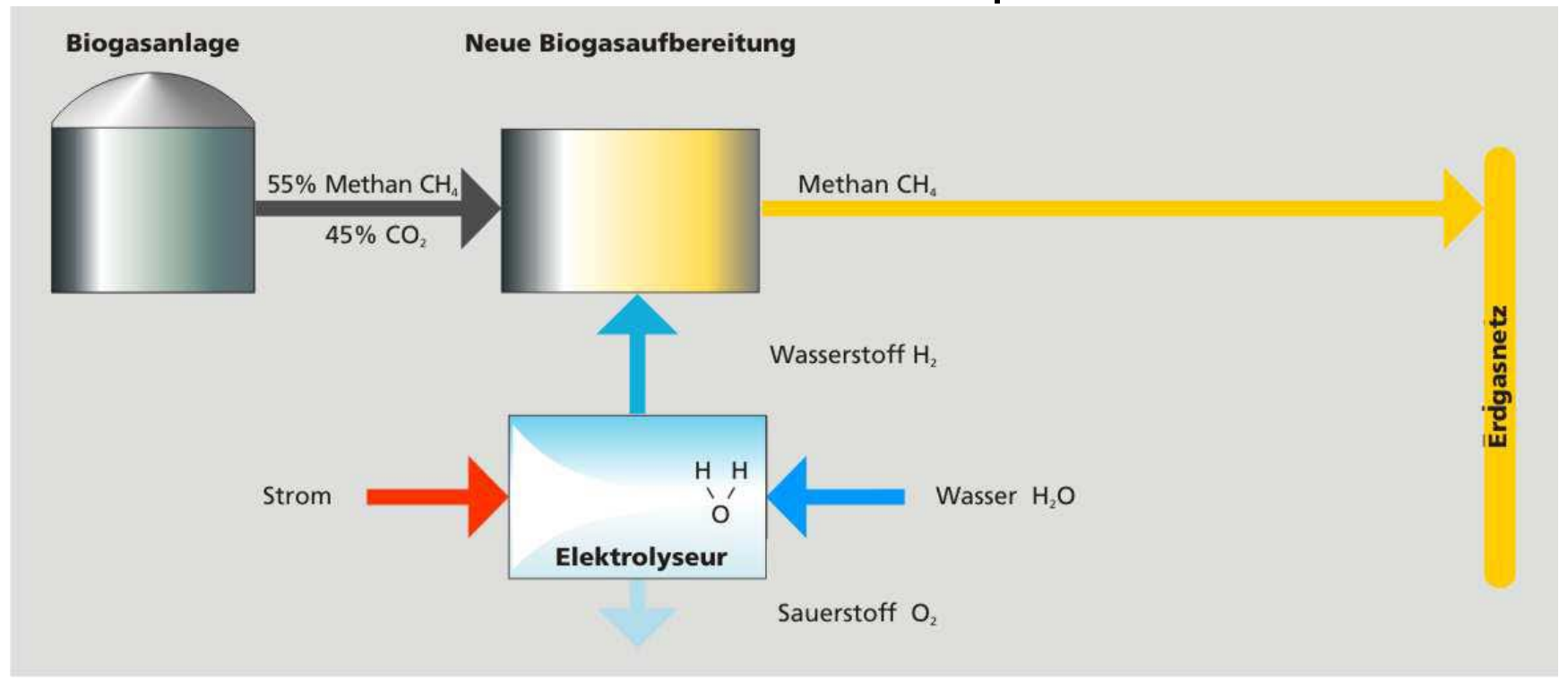








Neues Verfahren: in Biogas enthaltenes CO₂ reagiert mit Wasserstoff zu Methan und Wasserdampf



- Ersatz der Aufbereitung von Biogas zur Einspeisung in Erdgasnetze
- Wasserdampf ist vor Einspeisung in Erdgasnetze zu entfernen
- Wasserstoffherstellung ist ein etablierter Prozess
- Energie aus elektrischem Netz, wenn Überschüsse vorhanden











Hessisches Biogas-Forschungszentrum in Bad Hersfeld

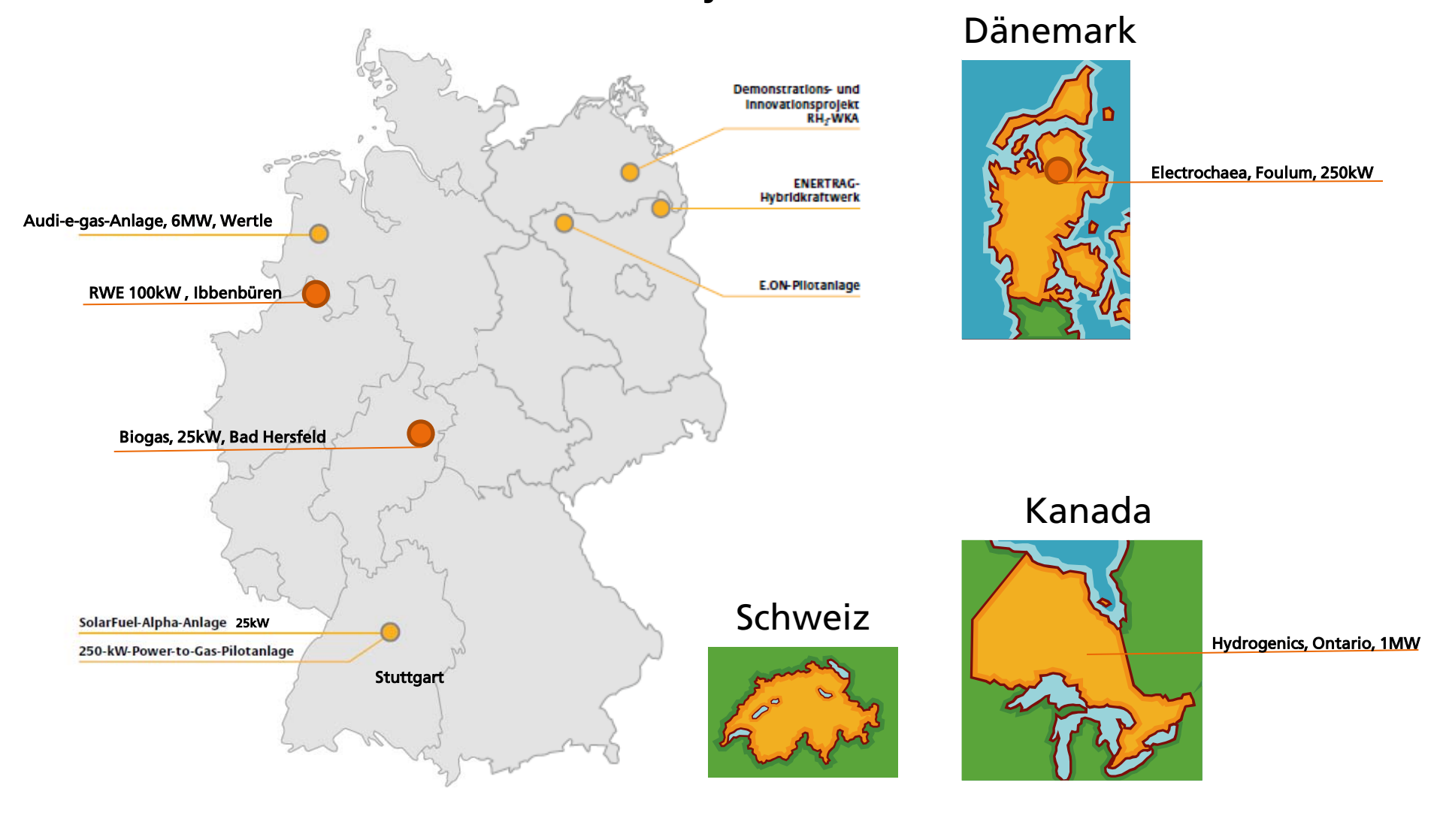




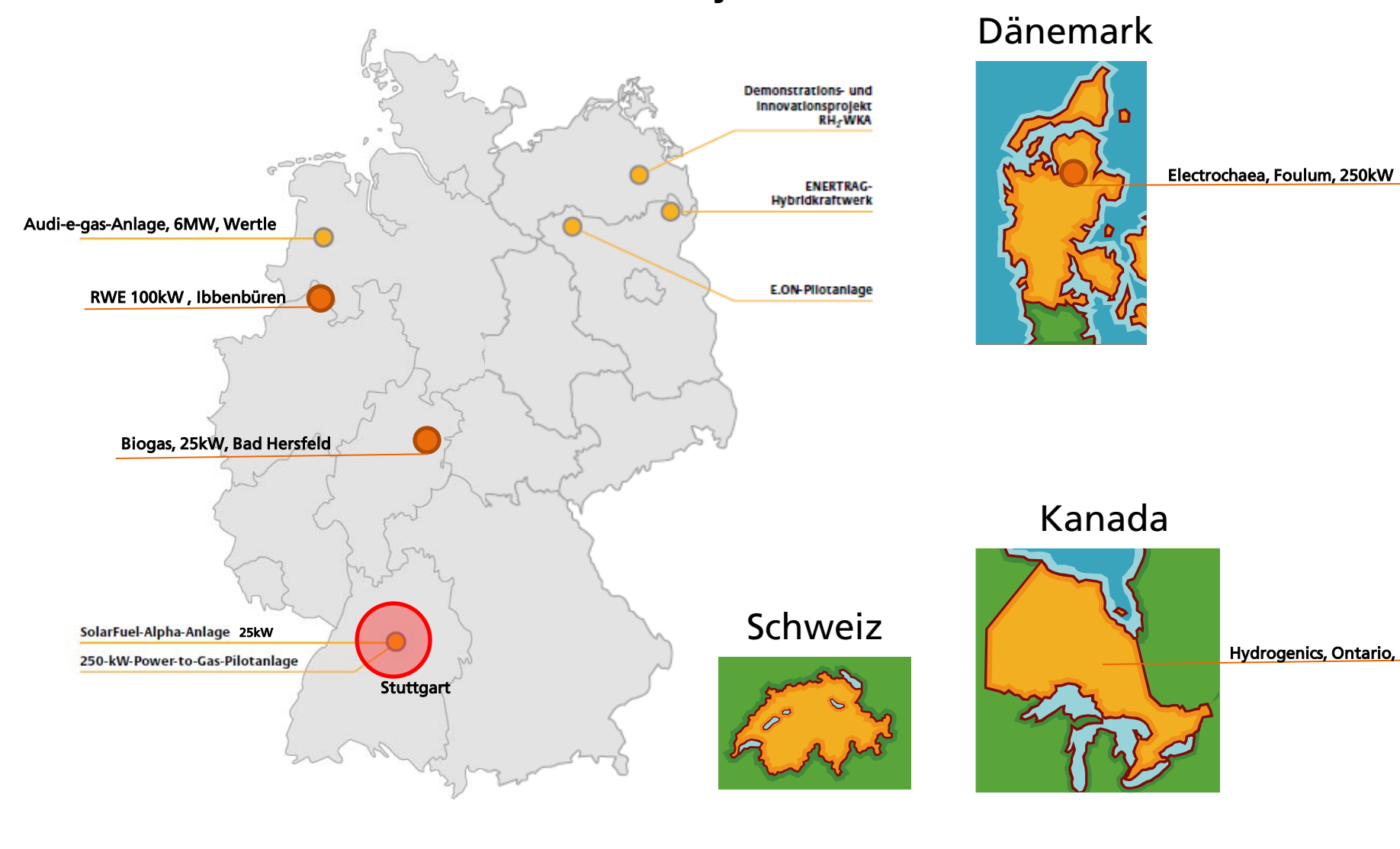




Nationale & Internationale Projekte



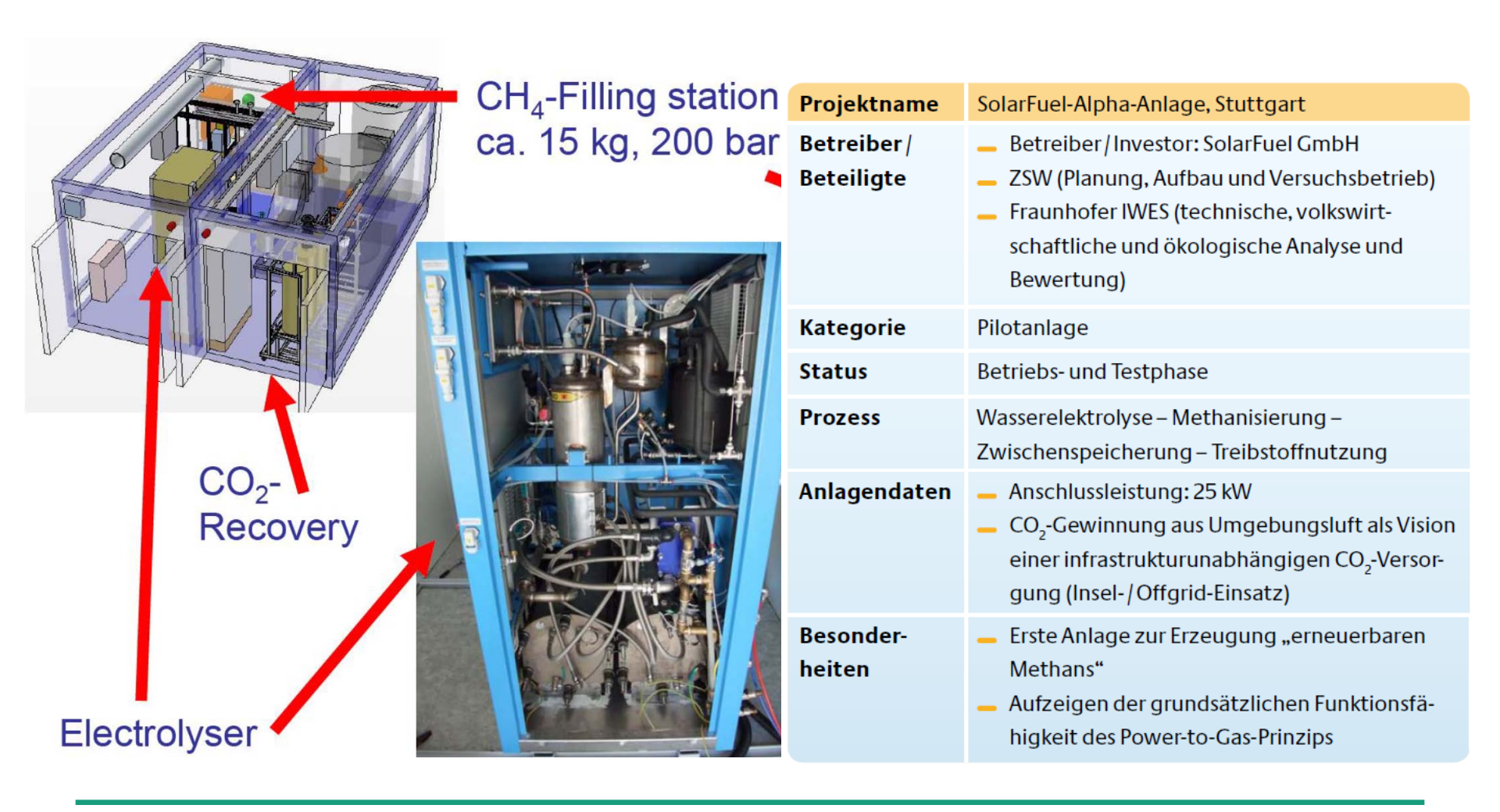
Nationale & Internationale Projekte





Hydrogenics, Ontario, 1MW

25kW Solar-Fuel Alpha Anlage, Stuttgart



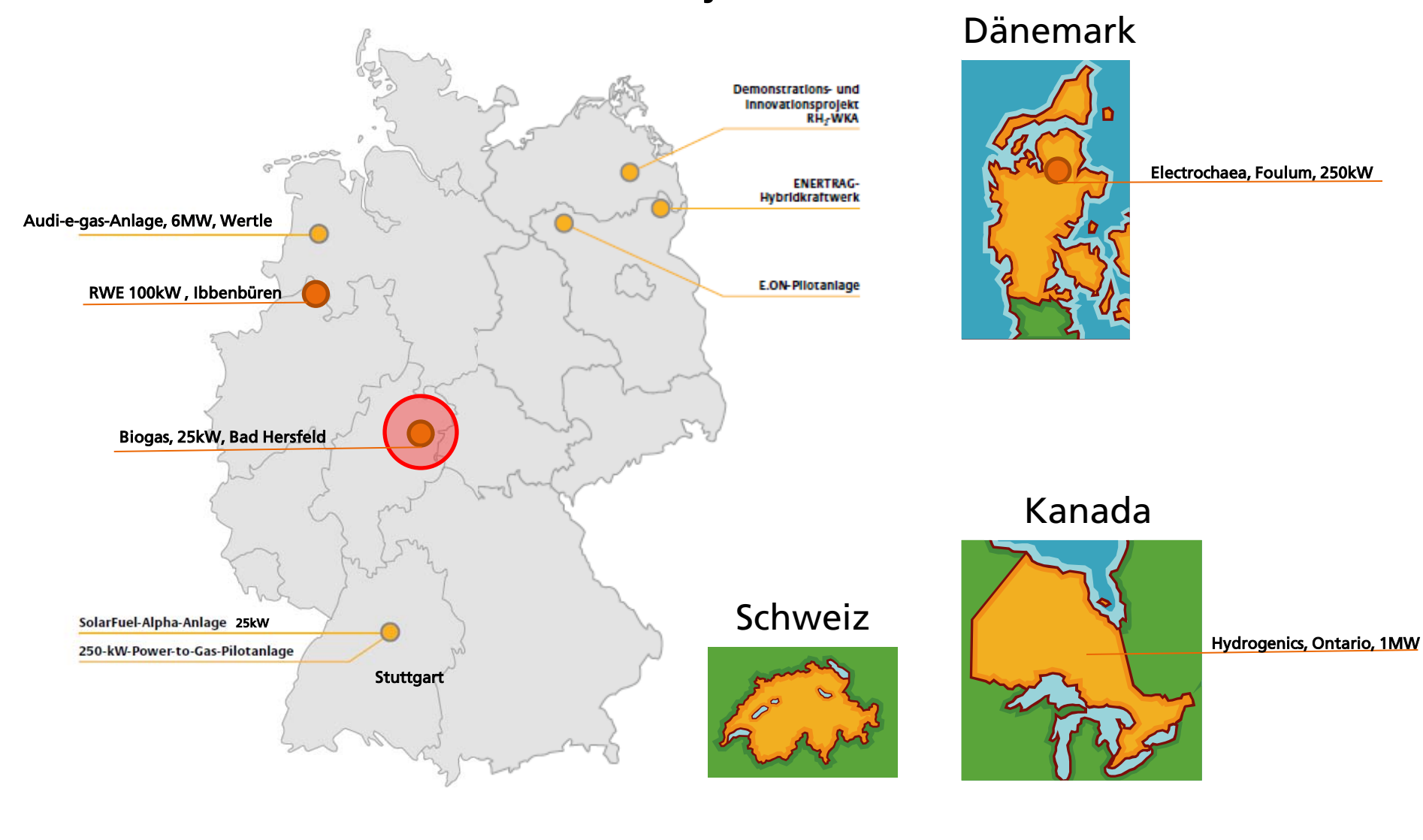
250kW Power-to-Gas Pilotanlage, Stuttgart



Projektname	250-kW-Power-to-Gas-Pilotanlage, Stuttgart
Betreiber/	Betreiber: ZSW (Planung, Aufbau und
Beteiligte	Versuchsbetrieb)
	 SolarFuel GmbH (Betriebskonzepte, Wirt-
	schaftlichkeitsanalysen)
	Fraunhofer IWES (technische, volkswirt-
	schaftliche und ökologische Analyse und Bewertung)
Kategorie	Pilotanlage
Status	Bauphase, Betriebsstart Sommer 2012
Prozess	Wasserelektrolyse – Methanisierung – Zwischen-
	speicherung – externe Nutzung
Anlagendaten	Anschlussleistung: 250 kW
	 Variable CO₂-Quelle durch Trailerversorgung
Besonder-	Erprobung und Optimierung des dyna-
heiten	mischen Betriebs eines Elektrolyseurs
	 Weiterentwicklung der Methanisierung und
	des Systemverschaltungskonzepts
	 Die Forschungs- und Entwicklungsarbeiten an
	der 250-kW-Anlage werden durch das Bundes-
	ministerium für Umwelt, Naturschutz und Re-
	aktorsicherheit (BMU) finanziell gefördert.



Nationale & Internationale Projekte





Methanisierungskooperation Hessen-Thüringen



Forschungsbiogas- & Methanisierungsanlage (3 Monatiger Testbetrieb in Bad Hersfeld)





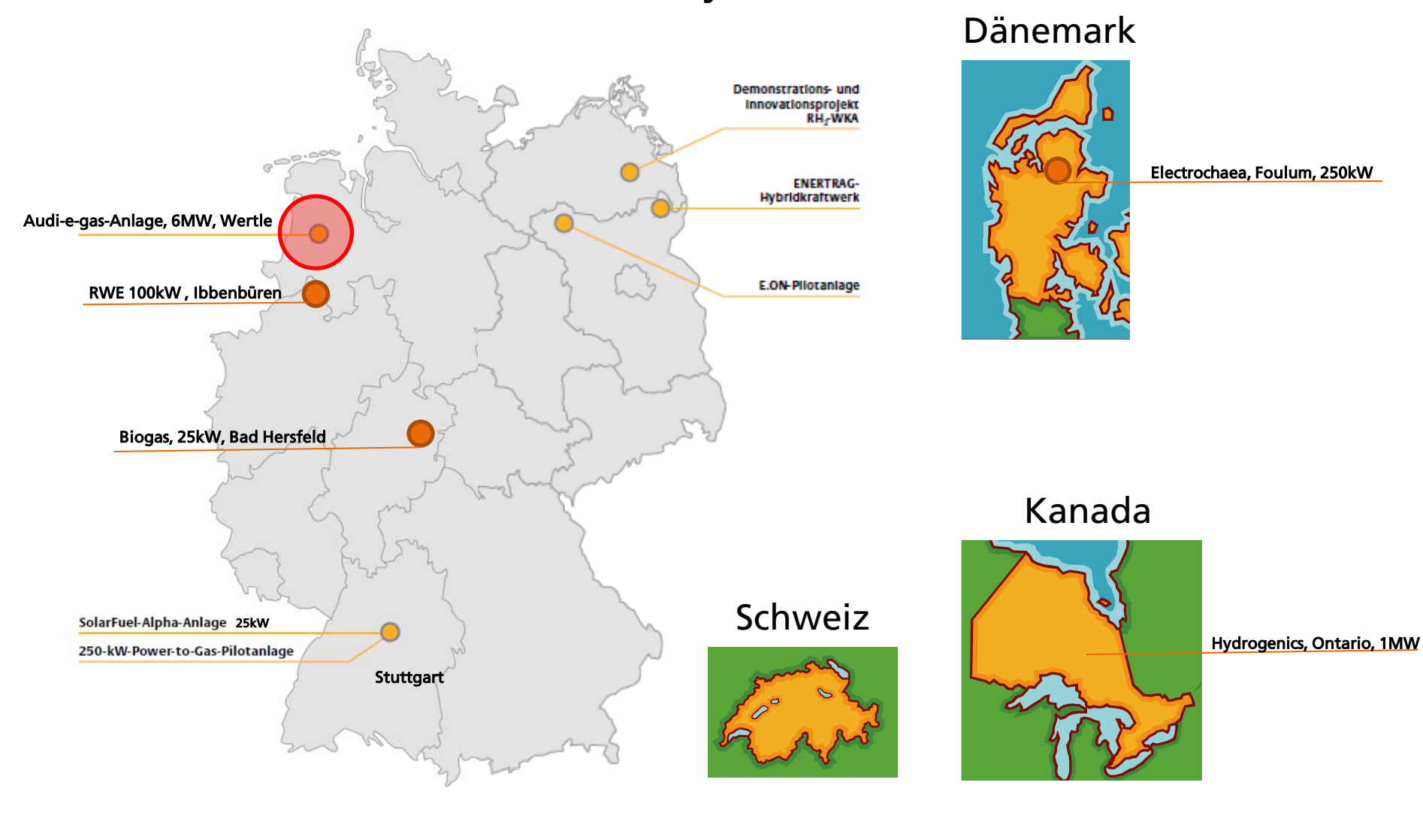




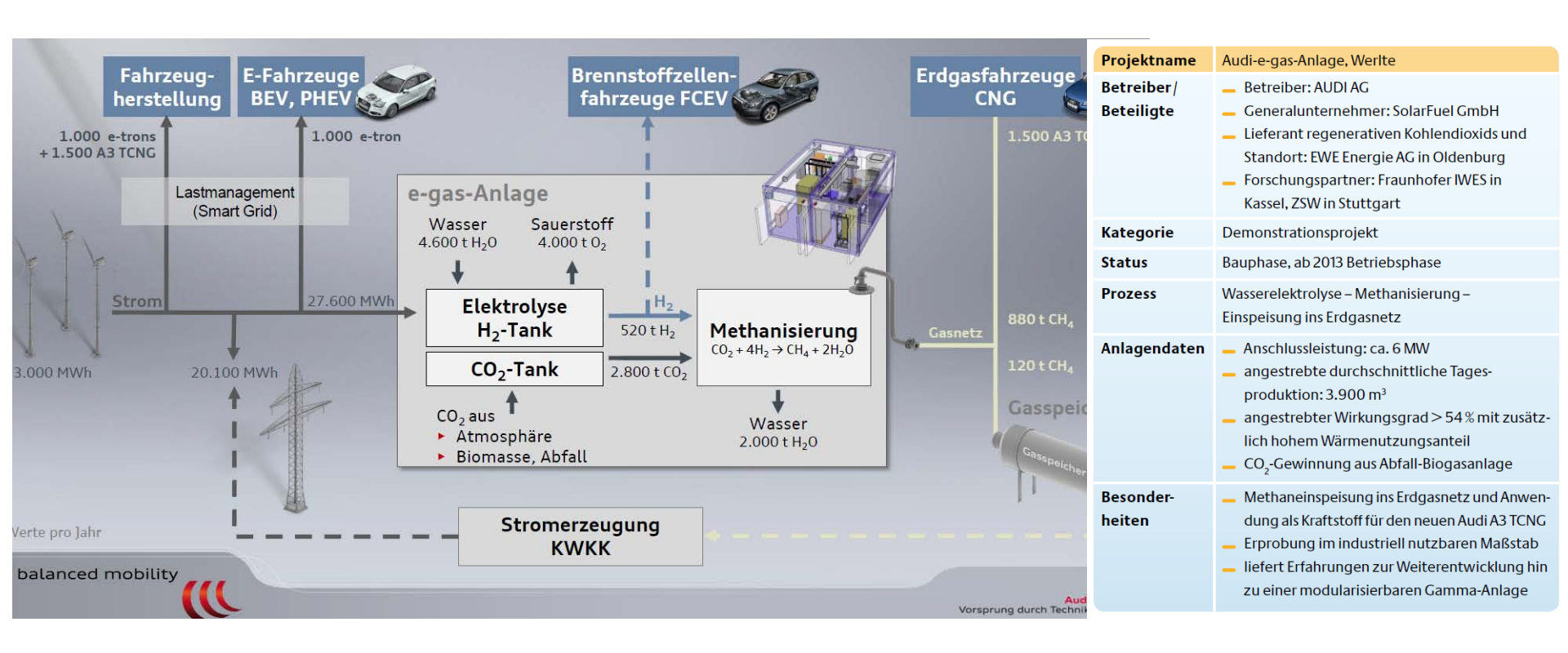


w Erdgasfahrzeug

Nationale & Internationale Projekte

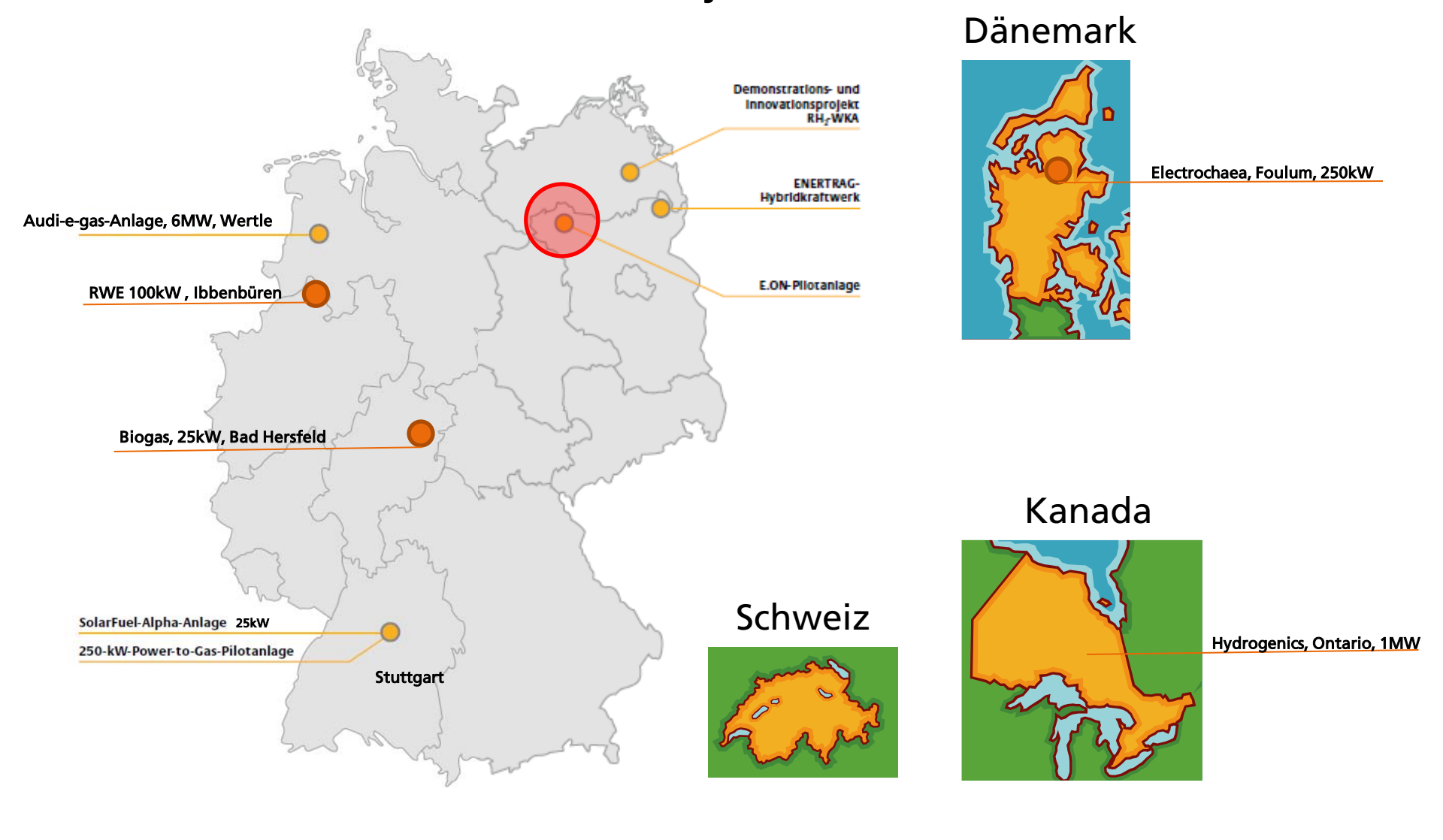


Audi-e-Gas-Anlage, Wertle

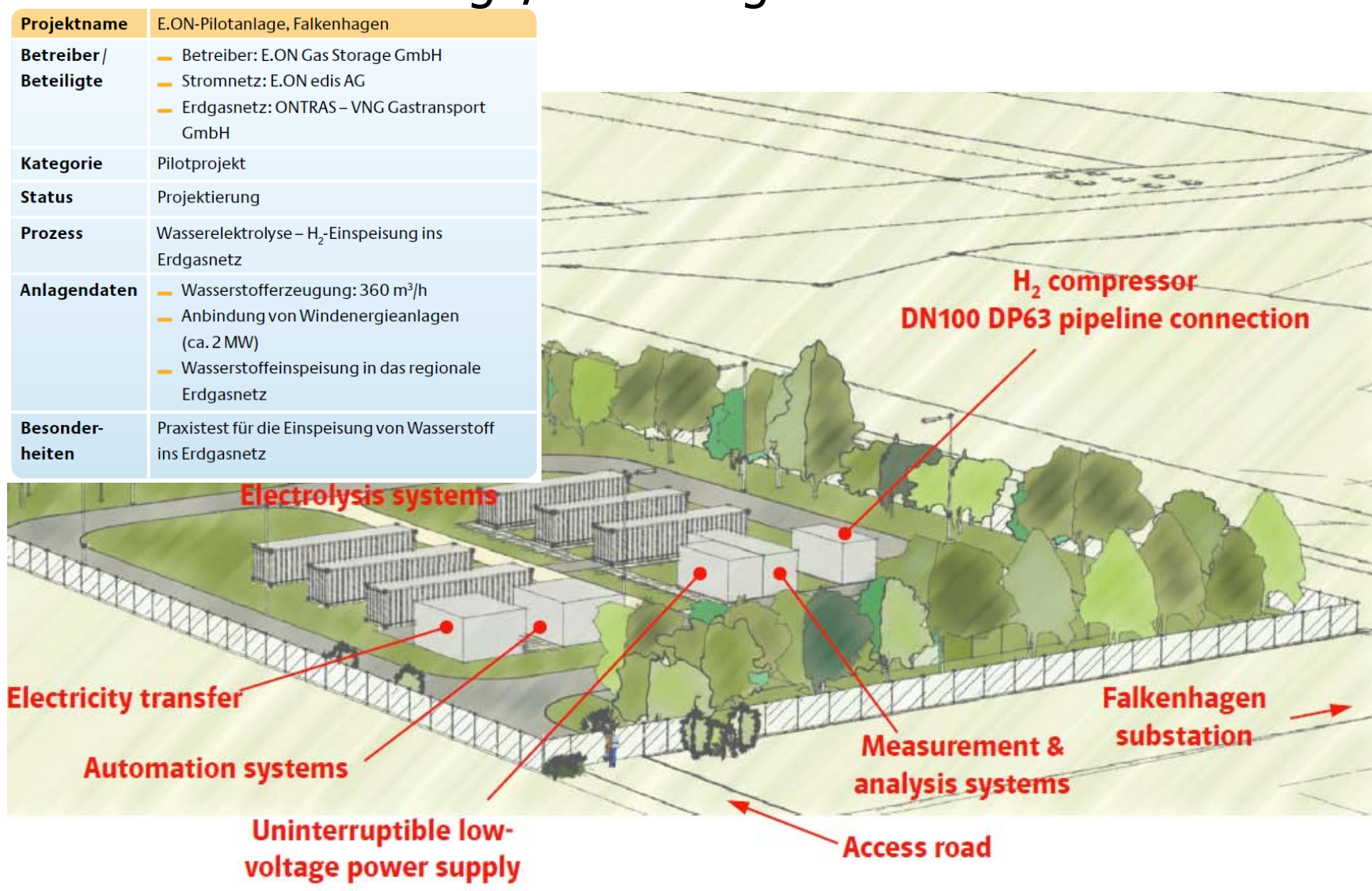




Nationale & Internationale Projekte

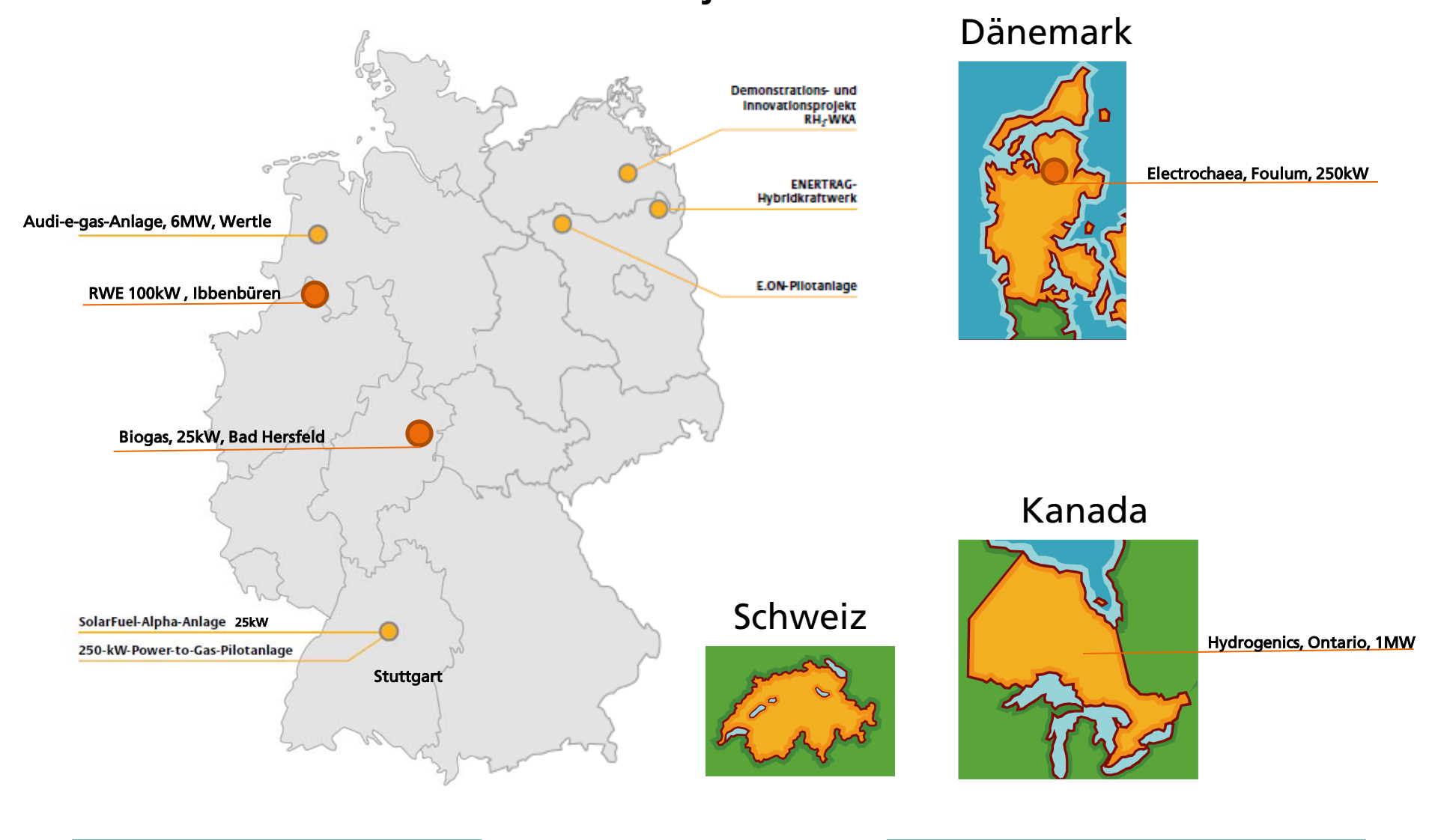


2MW E.ON Pilotanlage, Falkenhagen





Nationale & Internationale Projekte



Internationale Projekte

Dänemark:

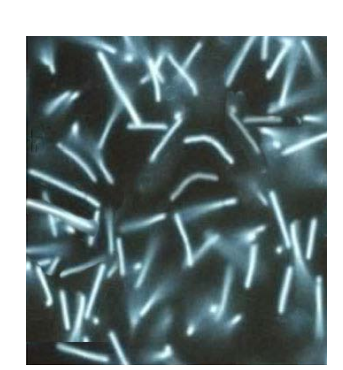
- 250-kW System mit Kohlendioxid aus Biogas
- Biologische Methanisierung (Methan bildende Bakterien)
- Partner: Electrochaea, E.ON, Nordjysk Elhandel AS, Aarhus University
- Start in 2012
- Vorstudie f
 ür kommerzielles System

Schweiz:

Erste Potentialabschätzungen "Swiss Renewable Power-to-Gas"

Kanada:

- 1MW Anlage geplant
- Partner: Hydrogenics, Enbridge, IESO, Canadian Gas Association



Fazit Power-to-Gas:

- 1. Für eine regenerative Vollversorgung ist Langzeitspeicherung unverzichtbar
- 2. Methanisierung erschließt die komplette Infrastruktur der Erdgaswelt
- 3. Weiterentwicklung des Verfahrens muss jetzt vorangetrieben werden
- 4. Kombination mit Biogas bietet viele Vorteile
- Größte Herausforderung ist die Wirtschaftlichkeit des Verfahrens im Wettbewerb mit anderen Lösungen

Vielen Dank für Ihre Aufmerksamkeit!

Dipl.-Ing. Matthias Puchta

Gruppenleiter Energiespeicher Bereich Regelungstechnik und Energiespeicher Fraunhofer Institut für Windenergie und Energiesystemtechnik

Telefon: 0561-7294-367

E-Mail: matthias.puchta@iwes.fraunhofer.de

